

# 調和 Hadamard 多様体と Gauss 超幾何微分方程式

佐藤 弘康

(日本工業大学 工学部 共通教育系)

伊藤光弘氏（筑波大学数理物質系）との共同研究に基づく

2015 年 8 月 28 日

第 62 回幾何学シンポジウム

(東京理科大学 神楽坂キャンパス)

# §0.1 概要

---

- 調和 Hadamard 多様体上の球 Fourier 変換について考える.
- 空間がどのような性質を満たすとき, 逆変換が存在し, Plancherel 公式が成立するか.
- 超幾何型調和 Hadamard 多様体の概念を定義.
- その性質, および関連する話題について述べる.

## 目次

- §1. はじめに (イントロダクション, 定義と主結果)
- §2. Jacobi 関数と Jacobi 変換
- §3. Damek-Ricci 空間上の球 Fourier 変換
- §4. 定理 2 の証明
- §5. 関連する話題

## §0.2 伊藤光弘氏の講演との関係

---

- $(X, g)$  : Hadamard 多様体
- Poisson 核測度  $P(x, \theta) d\theta$  は写像

$$\Theta : (X, g) \rightarrow (\mathcal{P}(\partial X), G) ; x \mapsto P(x, \theta) d\theta$$

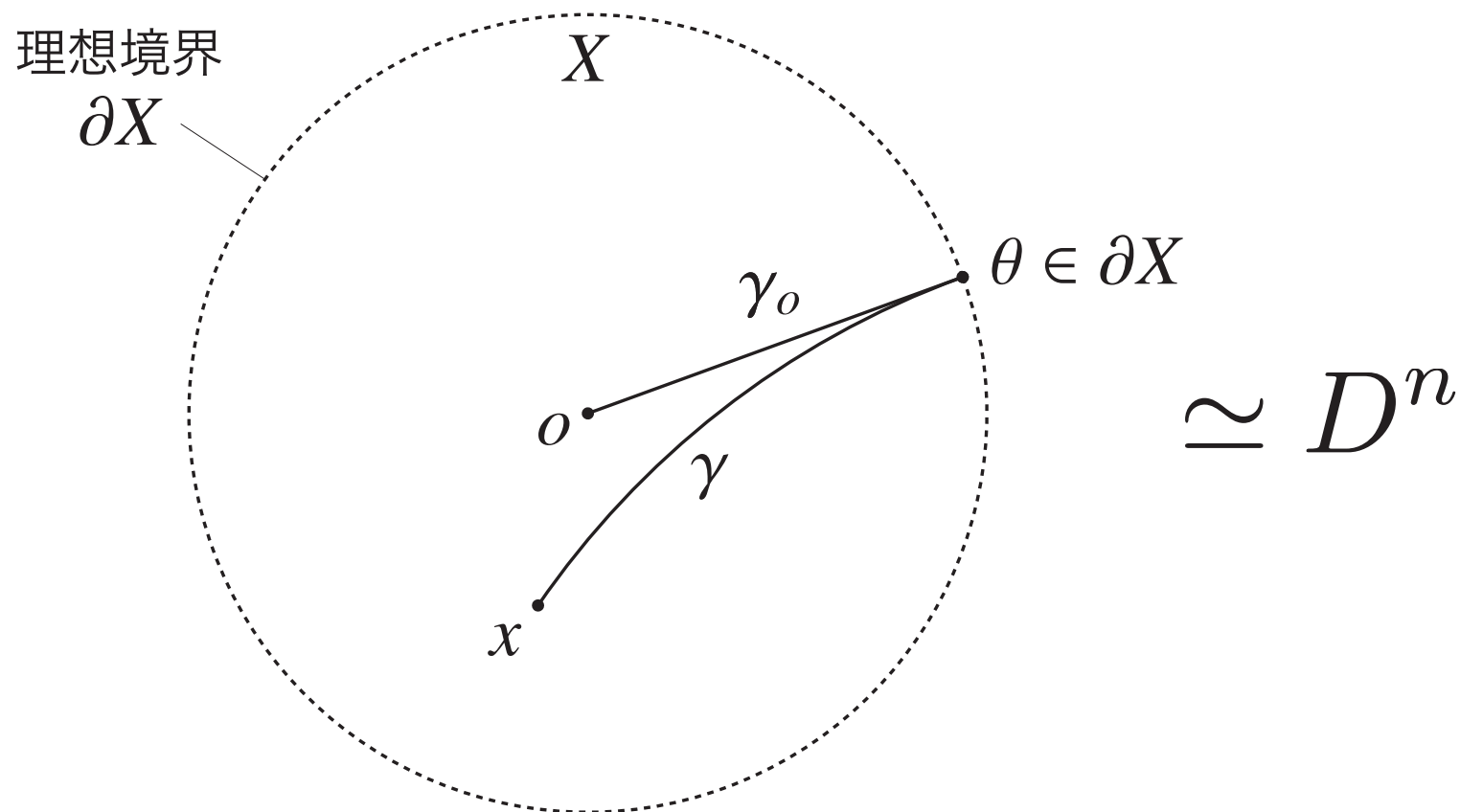
を定義する.

- $(X, g)$  が Damek-Ricci 空間のとき,  $\Theta$  は相似的かつ調和的.
- $\Theta$  は相似的かつ調和的な Hadamard 多様体は, Damek-Ricci 空間以外に存在するか?

# §1.0 はじめに

調和 Hadamard 多様体上の球 Fourier 変換について考える

- $(X, g)$  :  $n$  次元 Hadamard 多様体 (つまり, 単連結, 完備, 非正曲率)
- $\partial X$  :  $X$  の理想境界 ( $(n-1)$  次元球面に同相)



# §1.0 はじめに

---

## 調和 Hadamard 多様体上の球 Fourier 変換について考える

- $(X, g)$  :  $n$  次元 Hadamard 多様体 (つまり, 単連結, 完備, 非正曲率)
- $\partial X$  :  $X$  の理想境界 ( $(n - 1)$  次元球面に同相)
- 調和多様体とは, 次のいずれかの条件を満たす Riemann 多様体 ;
  - 体積密度関数  $\sqrt{\det(g_{ij})}$  が動径関数となる.
  - 測地球面の平均曲率が動径関数となる.
  - $\vdots$
- 以下,  $(X, g)$  は調和 Hadamard 多様体であるとする.

# §1.1 調和 Hadamard 多様体上の球 Fourier 変換

調和 Hadamard 多様体上の球 Fourier 変換について考える

- ラプラシアン  $\mathcal{L}$  を極座標  $(r, \theta)$  で表すと

$$\mathcal{L} = \frac{\partial^2}{\partial r^2} + \sigma(r) \frac{\partial}{\partial r} + (\text{測地球面方向の微分})$$

ただし,  $\sigma(r)$  は測地球面  $G(o, r)$  の平均曲率.

- $\mathcal{L}_{\text{rad}} := \frac{\partial^2}{\partial r^2} + \sigma(r) \frac{\partial}{\partial r}$
  - $X$  上の動径関数  $\varphi_\lambda$  が
    - $\mathcal{L}_{\text{rad}}$  の固有関数 ;  $\mathcal{L}_{\text{rad}} \varphi_\lambda = -\left(\frac{1}{4}\rho^2 + \lambda^2\right) \varphi_\lambda$ , かつ
    - $\varphi_\lambda(o) = \varphi_\lambda(0) = 1$
- を満たすとき,  $\varphi_\lambda$  を  $X$  の球関数という.

## §1.1 調和 Hadamard 多様体上の球 Fourier 変換

- $X$  上のコンパクト台をもつ  $C^\infty$  動径関数  $f$  に対し, その球 Fourier 変換  $\widetilde{f}$  を以下の式で定義する;

$$\widetilde{f}(\lambda) = \int_X f(x) \varphi_\lambda(x) dv_g = \frac{2\pi^{n/2}}{\Gamma(\frac{n}{2})} \int_0^\infty f(r) \varphi_\lambda(r) S(r) dr. \quad (2)$$

ただし,  $S(r)$  は半径  $r$  の測地球面の体積密度関数.

# §1.1 調和 Hadamard 多様体上の球 Fourier 変換

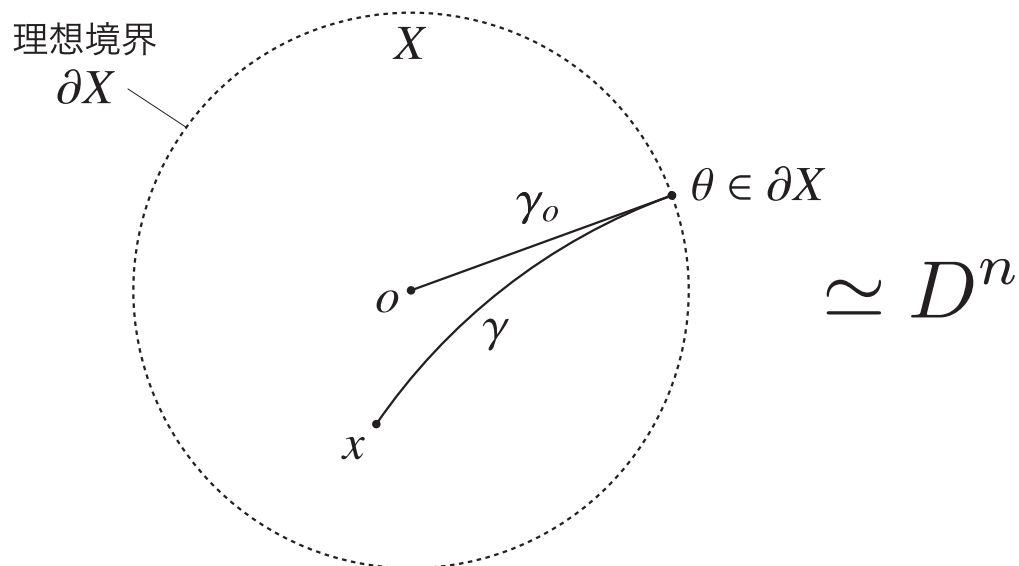
- Fourier 変換 「関数をラプラシアン  $\mathcal{L}$  の固有関数の和の分解すること」
- 調和 Hadamard 多様体ならば,  $\varphi_\lambda(x) = \exp \left\{ - \left( \frac{1}{2}\rho + i\lambda \right) B_\theta(x) \right\}$  は

$$\mathcal{L}\varphi_\lambda = - \left( \frac{1}{4}\rho^2 + \lambda^2 \right) \varphi_\lambda \quad (\lambda \in \mathbb{C})$$

を満たす. ここで,

◦  $B_\theta$  は Busemann 関数 ;  $B_\theta(x) = \lim_{t \rightarrow \infty} (d(\gamma_o(t), x) - t)$

ただし,  $\gamma_o$  は  $\gamma_o(0) = o$ ,  $\gamma_o(\infty) = \theta \in \partial X$  を満たす測地線.





# §1.1 調和 Hadamard 多様体上の球 Fourier 変換

- Fourier 変換 「関数をラプラシアン  $\mathcal{L}$  の固有関数の和の分解すること」
- 調和 Hadamard 多様体ならば,  $\varphi_\lambda(x) = \exp \left\{ - \left( \frac{1}{2}\rho + i\lambda \right) B_\theta(x) \right\}$  は

$$\mathcal{L}\varphi_\lambda = - \left( \frac{1}{4}\rho^2 + \lambda^2 \right) \varphi_\lambda \quad (\lambda \in \mathbb{C})$$

を満たす. ここで,

- $B_\theta$  は Busemann 関数 ;  $B_\theta(x) = \lim_{t \rightarrow \infty} (d(\gamma_o(t), x) - t)$

ただし,  $\gamma_o$  は  $\gamma_o(0) = o$ ,  $\gamma_o(\infty) = \theta \in \partial X$  を満たす測地線.

- $\rho$  は体積エントロピー ;  $\rho = \lim_{r \rightarrow \infty} \frac{\log \text{Vol} B(p; r)}{r}$

- なぜ, 固有関数となるのか.

- Busemann 関数の性質 ;  $|\nabla B_\theta| = 1$

- 調和多様体のホ口球面 ( $B_\theta$  の等位超曲面) はすべて平均曲率一定で, 共通値をとる ;  $\mathcal{L}B_\theta = \rho$

## §1.1 調和 Hadamard 多様体上の球 Fourier 変換

- $|\nabla B_\theta| = 1$ ,  $\mathcal{L}B_\theta = \rho$  より,

$$\begin{aligned}\mathcal{L}\varphi_\lambda &= \nabla_i \nabla_i \varphi_\lambda = \nabla_i \nabla_i \exp \left\{ - \left( \frac{1}{2} \rho + i\lambda \right) B_\theta(x) \right\} \\ &= \nabla_i \left\{ - \left( \frac{\rho}{2} + i\lambda \right) \nabla_i B_\theta \cdot \varphi_\lambda \right\} \\ &= - \left( \frac{\rho}{2} + i\lambda \right) \left\{ \mathcal{L}B_\theta \cdot \varphi_\lambda - \left( \frac{\rho}{2} + i\lambda \right) |\nabla B_\theta|^2 \varphi_\lambda \right\} \\ &= - \left( \frac{\rho}{2} + i\lambda \right) \left\{ \rho - \left( \frac{\rho}{2} + i\lambda \right) \right\} \varphi_\lambda \\ &= - \left( \frac{\rho}{2} + i\lambda \right) \left( \frac{\rho}{2} - i\lambda \right) \varphi_\lambda \\ &= - \left( \frac{\rho^2}{4} + \lambda^2 \right) \varphi_\lambda.\end{aligned}$$

- よって, Fourier 変換は定義可能.

# §1.1 調和 Hadamard 多様体上の球 Fourier 変換

---

- 調和 Hadamard 多様体ならば, (球) Fourier 変換が定義可能.
- どのような空間において, 逆変換や Plancherel の公式が成立するか?
- Damek-Ricci 空間においては成立
  - 階数 1 対称空間の場合の類似 (Damek-Ricci [4], Ricci [5])
  - Koornwinder [8] による Jacobi 関数と Jacobi 変換に関するより一般的な枠組みで展開できる (Anker-Damek-Yacoub [1])

# §1.1 調和 Hadamard 多様体上の球 Fourier 変換

- Anker-Damek-Yacoub [1] の方法

- 球関数の方程式

$$\mathcal{L}_{\text{rad}} f(r) = -\left(\frac{1}{4}\rho^2 + \lambda^2\right) f(r)$$

を,  $-\sinh^2 \frac{r}{2} = z$  と変数変換すると Gauss 超幾何型微分方程式

$$z(1-z)u''(z) + \left(\frac{n}{2} - (\rho+1)z\right)u'(z) - \left(\frac{1}{4}\rho^2 + \lambda^2\right)u(z) = 0$$

に変換される.

- 「Jacobi 関数と Jacobi 変換」の議論 [Ko] が適用できる.  
(逆変換が存在. Plancherel の公式が成立)

→ 超幾何型 調和 Hadamard 多様体 の概念を定義.

## §1.2 超幾何型 調和 Hadamard 多様体

定義 1.

調和 Hadamard 多様体  $(X, g)$  において, 球関数が満たす方程式

$$\mathcal{L}_{\text{rad}} f(r) = -\left(\frac{1}{4}\rho^2 + \lambda^2\right) f(r) \quad (1)$$

に対し,  $-\sinh^2 \frac{r}{2} = z$  と変数変換すると, Gauss 超幾何型微分方程式

$$z(1-z) u''(z) + (c - (a+b+1)z) u'(z) - ab u(z) = 0 \quad (3)$$

に変換されるとき, 「 $(X, g)$  は超幾何型である」という.

## §1.2 主結果

定理 2.

$n$  次元調和 Hadmard 多様体  $(X, g)$  が超幾何型であるための必要十分条件は、半径  $r$  の測地球面の体積密度関数  $S(r)$  が

$$S(r) = \text{Const} \left( \sinh \frac{r}{2} \right)^{n-1} \left( \cosh \frac{r}{2} \right)^{2\rho-(n-1)}$$

と表されることである (ただし,  $\rho$  は  $(X, g)$  の体積エントロピー).

## §2.1 Jacobi 関数と Jacobi 変換

Gauss 超幾何関数

$a, b, c \in \mathbb{C}$  (ただし,  $c \neq 0, -1, -2, \dots$ ) に対して,

$${}_2F_1(a, b, c; z) := \sum_{k=0}^{\infty} \frac{(a)_k (b)_k}{(c)_k} \times \frac{z^k}{k!}, \quad z \in \mathbb{C} \setminus [0, \infty)$$

- $(a)_k$  は shifted factorial ;  $(a)_k = \begin{cases} a(a+1) \cdots (a+(k-1)) & k \neq 0 \\ 1 & k = 0 \end{cases}$
- これは微分方程式

$$z(1-z)u''(z) + \{c - (a+b+1)z\}u'(z) - abu(z) = 0 \quad (3)$$

の解 (原点で正則かつ値 1 をとる)

## §2.2 Jacobi 関数と Jacobi 変換

### Jacobi 関数

$$\phi_{\lambda}^{(\alpha, \beta)}(t) := {}_2F_1 \left( \frac{\alpha + \beta + 1 + i\lambda}{2}, \frac{\alpha + \beta + 1 - i\lambda}{2}, \alpha + 1; -\sinh^2 t \right)$$

- $|\beta| < \alpha + 1$  のとき,  $\{\phi_{\lambda}^{(\alpha, \beta)}\}$  は重み関数

$$\Delta_{\alpha, \beta}(t) = (2 \sinh t)^{2\alpha+1} (2 \cosh t)^{2\beta+1}$$

に関して,  $\mathbb{R}_{\geq 0}$  上の正規直交系をなす.

- $L_{\alpha, \beta} := \frac{d^2}{dt^2} + \{(2\alpha + 1) \coth t + (2\beta + 1) \tanh t\} \frac{d}{dt} = \frac{d^2}{dt^2} + \frac{\Delta'_{\alpha, \beta}(t)}{\Delta_{\alpha, \beta}(t)} \frac{d}{dt}$
- $z = -\sinh^2 t$  と変数変換すると, 超幾何型微分方程式 (3) は

$$L_{\alpha, \beta} v = -(\lambda^2 + (\alpha + \beta + 1)^2) v$$

ただし,  $\alpha = c - 1$ ,  $\beta = a + b - c$ ,  $\lambda^2 = -(a - b)^2$ .



## §2.3 Jacobi 関数と Jacobi 変換

Jacobi 変換

$\mathbb{R}$  上の関数  $f(t)$  に対して, Jacobi 変換  $\widehat{f}$  を

$$\widehat{f}(\lambda) := \int_0^\infty f(t) \phi_\lambda^{(\alpha, \beta)}(t) \Delta_{\alpha, \beta}(t) dt$$

- $f \in \mathcal{D}_{\text{even}}(\mathbb{R})$  ならば,  $\widehat{f}$  は 解析的な偶関数.
- ただし,  $\mathcal{D}_{\text{even}}(\mathbb{R})$  は, コンパクト台をもつ  $\mathbb{R}$  上の偶関数全体.
- Jacobi 変換は逆変換が存在し, Plancherel の定理が成り立つ ;

## §2.4 Jacobi 関数と Jacobi 変換

定理 4 ([8]).

$\alpha, \beta \in \mathbb{R}$  が  $\alpha > -1$ ,  $\alpha \pm \beta + 1 \geq 0$  を満たすとする. このとき,  $f, g \in \mathcal{D}_{\text{even}}(\mathbb{R})$  に対し, 次が成り立つ.

(i) 逆変換 : 
$$f(t) = \frac{1}{2\pi} \int_0^\infty \widehat{f}(\lambda) \phi_\lambda^{(\alpha, \beta)}(t) \frac{1}{|c_{\alpha, \beta}(\lambda)|^2} d\lambda$$

(ii) Plancherel の公式 :

$$\int_0^\infty f(t) \overline{g(t)} \Delta_{\alpha, \beta}(t) dt = \frac{1}{2\pi} \int_0^\infty \widehat{f}(\lambda) \overline{\widehat{g}(\lambda)} \frac{1}{|c_{\alpha, \beta}(\lambda)|^2} d\lambda$$

$c_{\alpha, \beta}(\lambda)$  は Harish-Chandra の  $c$ -関数 ; 
$$c_{\alpha, \beta}(\lambda) = \frac{2^{\alpha+\beta+1-i\lambda} \Gamma(\alpha+1) \Gamma(i\lambda)}{\Gamma\left(\frac{i\lambda+\alpha+\beta+1}{2}\right) \Gamma\left(\frac{i\lambda+\alpha-\beta+1}{2}\right)}$$

## §3.1 Damek-Ricci 空間 $X = A \ltimes N \simeq \mathfrak{v} \times \mathfrak{z} \times \mathbb{R}_+$

- $\mathfrak{n} = (\mathfrak{v} \oplus \mathfrak{z}, [\cdot, \cdot], \langle \cdot, \cdot \rangle)$  : 2-step 冪零 Lie 環 ( $\mathfrak{z}$  は中心,  $\mathfrak{v} = \mathfrak{z}^\perp$ )
- $Z \in \mathfrak{z}$  に対して,  $J_Z : \mathfrak{v} \rightarrow \mathfrak{v}; \quad \langle J_Z V, V' \rangle = \langle Z, [V, V'] \rangle$ .
- $(J_Z)^2 = -|Z|^2 \text{id}_{\mathfrak{v}}$  ( $\forall Z \in \mathfrak{z}$ ) のとき,  $\mathfrak{n}$  を H-type Lie 環とよぶ.
- $\mathfrak{n}$  を Lie 環とする単連結 Lie 群  $N$  を H-type 群とよぶ.
- $\mathfrak{s} = (\mathfrak{n} \oplus \mathbb{R}, [\cdot, \cdot]_{\mathfrak{s}}, \langle \cdot, \cdot \rangle_{\mathfrak{s}})$ 
  - $[V + Z + lA, V' + Z' + l'A]_{\mathfrak{s}} = \left(\frac{l}{2}V' - \frac{l'}{2}V\right) + (lZ' - l'Z + [V, V'])$
  - $\langle V + Z + lA, V' + Z' + l'A \rangle_{\mathfrak{s}} = \langle V, V' \rangle + \langle Z, Z' \rangle + ll'$ .
- $\mathfrak{s}$  を Lie 環とし,  $\langle \cdot, \cdot \rangle_{\mathfrak{s}}$  から定まる左不変計量を備えた単連結 Lie 群を Damek-Ricci 空間という.
- $S \simeq \mathfrak{v} \times \mathfrak{z} \times \mathbb{R}_+$  と同一視したときの群構造は

$$(V, Z, a) \cdot (V', Z', a') = \left( V + \sqrt{a}V', Z + aZ' + \frac{\sqrt{a}}{2}[V, V'], aa' \right).$$

## §3.2 Damek-Ricci 空間上のラプラシアン $\mathcal{L}$

$$X = A \ltimes N \simeq \mathfrak{v} \times \mathfrak{z} \times \mathbb{R}_+, \quad \partial X = N \cup \{\infty\}$$

- $m = \dim \mathfrak{v}$ ,  $k = \dim \mathfrak{z}$ ,  $n = k + m + 1$

- 単位元  $e \in X$  を中心とする測地球面  $G(e; r)$  の

- 体積密度関数 ;  $S(r) = 2^{m+k} \left( \sinh \frac{r}{2} \right)^{m+k} \left( \cosh \frac{r}{2} \right)^k$

- 平均曲率 ;  $\sigma(r) = \frac{S'(r)}{S(r)} = \frac{m+k}{2} \cosh \frac{r}{2} + \frac{k}{2} \tanh \frac{r}{2}$

- $\mathcal{L}_{\text{rad}} = \frac{\partial^2}{\partial r^2} + \sigma(r) \frac{\partial}{\partial r} = \frac{\partial^2}{\partial r^2} + \left( \frac{m+k}{2} \coth \frac{r}{2} + \frac{k}{2} \tanh \frac{r}{2} \right) \frac{\partial}{\partial r}$

- $S(r)$  から  $\mathcal{L}_{\text{rad}}$  が定まることに注意.

- 体積エントロピー ;  $\rho = \frac{m}{2} + k$

### §3.3 Damek-Ricci 空間上の球 Fourier 変換

- $S(r) = 2^{m+k} \left( \sinh \frac{r}{2} \right)^{m+k} \left( \cosh \frac{r}{2} \right)^k$
- $\mathcal{L}_{\text{rad}} = \frac{\partial^2}{\partial r^2} + \left( \frac{m+k}{2} \coth \frac{r}{2} + \frac{k}{2} \tanh \frac{r}{2} \right) \frac{\partial}{\partial r}$

- $t = \frac{r}{2}$  と変換すると,
  - $S(r) = 2^{-k} \Delta_{\alpha,\beta}(t)$

- $4\mathcal{L}_{\text{rad}} = L_{\alpha,\beta}$

ただし,  $\alpha = \frac{m+k-1}{2} = \frac{n}{2} - 1, \quad \beta = \frac{k-1}{2} = \rho - \frac{n}{2}.$

- 以上のことから, Damek-Ricci 空間における球 Fourier 変換は, 本質的には  $\alpha = \frac{n}{2} - 1, \beta = \rho - \frac{n}{2}$  の場合の Jacobi 変換である.

- ただし, 定数倍の違いあり.  $\widetilde{f}(\lambda) = \frac{2^{2-k} \pi^{\frac{n}{2}}}{\Gamma\left(\frac{n}{2}\right)} \widehat{f(2\cdot)}(2\lambda)$

## §4. 定理 2 の証明

定理 2.

$n$  次元調和 Hadmard 多様体  $(X, g)$  が超幾何型であるための必要十分条件は、半径  $r$  の測地球面の体積密度関数  $S(r)$  が

$$S(r) = \text{Const} \left( \sinh \frac{r}{2} \right)^{n-1} \left( \cosh \frac{r}{2} \right)^{2\rho-(n-1)} \quad (4)$$

と表されることである (ただし,  $\rho$  は  $(X, g)$  の体積エントロピー).

定義 1. (超幾何型調和 Hadamard 多様体)

$$\left( \frac{d^2}{dr^2} + \sigma(r) \frac{d}{dr} \right) f(r) = - \left( \frac{1}{4} \rho^2 + \lambda^2 \right) f(r) \quad \cdots (1)$$

$$\xrightarrow{-\sinh^2(r/2)=z} \quad z(1-z) u''(z) + (c - (a+b+1)z) u'(z) - ab u(z) = 0 \quad \cdots (3)$$

## §4. 定理 2 の証明

- $z = -\sinh^2 \frac{r}{2}$  と変換すると

$$\frac{dz}{dr} = -\frac{1}{2} \sinh r, \quad \frac{d^2 z}{dr^2} = -\frac{1}{2} \cosh r.$$

- $f(r) = u(z)$  とおくと,

$$\begin{aligned} \frac{df}{dr} &= u'(z) \cdot \frac{dz}{dr} = -\frac{1}{2} \sinh r \cdot u'(z), \\ \frac{d^2 f}{dr^2} &= \frac{d}{dr} \left( u'(z) \cdot \frac{dz}{dr} \right) = u''(z) \cdot \frac{dz}{dr} + u'(z) \cdot \frac{d^2 z}{dr^2} \\ &= -z(1-z) u''(z) - \frac{1}{2} \cosh r u'(z). \end{aligned}$$

- よって, (1) は

$$z(1-z) u''(z) + \frac{1}{2} (\cosh r + \sigma(r) \cdot \sinh r) u'(z) - \left( \lambda^2 + \frac{\rho^2}{4} \right) u(z) = 0$$

## §4. 定理 2 の証明

$$z(1 - z) u''(z) + \frac{1}{2}(\cosh r + \sigma(r) \sinh r) u'(z) - \left( \lambda^2 + \frac{\rho^2}{4} \right) u(z) = 0$$

- $(X, g)$  が超幾何型ならば, この方程式は

$$z(1 - z) u''(z) + (A + Bz) u'(z) - ab u(z) = 0$$

となる (ただし,  $A = c$ ,  $B = -(a + b + 1)$  は定数).

- つまり,  $\frac{1}{2}(\cosh r + \sigma(r) \sinh r) = A - B \sinh^2 \frac{r}{2}$  を得る.

$$\therefore \sigma(r) = \left( A - \frac{1}{2} \right) \coth \frac{r}{2} - \left( A + B + \frac{1}{2} \right) \tanh \frac{r}{2}$$

となる.

- $A, B$  は?  $\leftarrow \sigma(r)$  の漸近的性質から値がわかる.

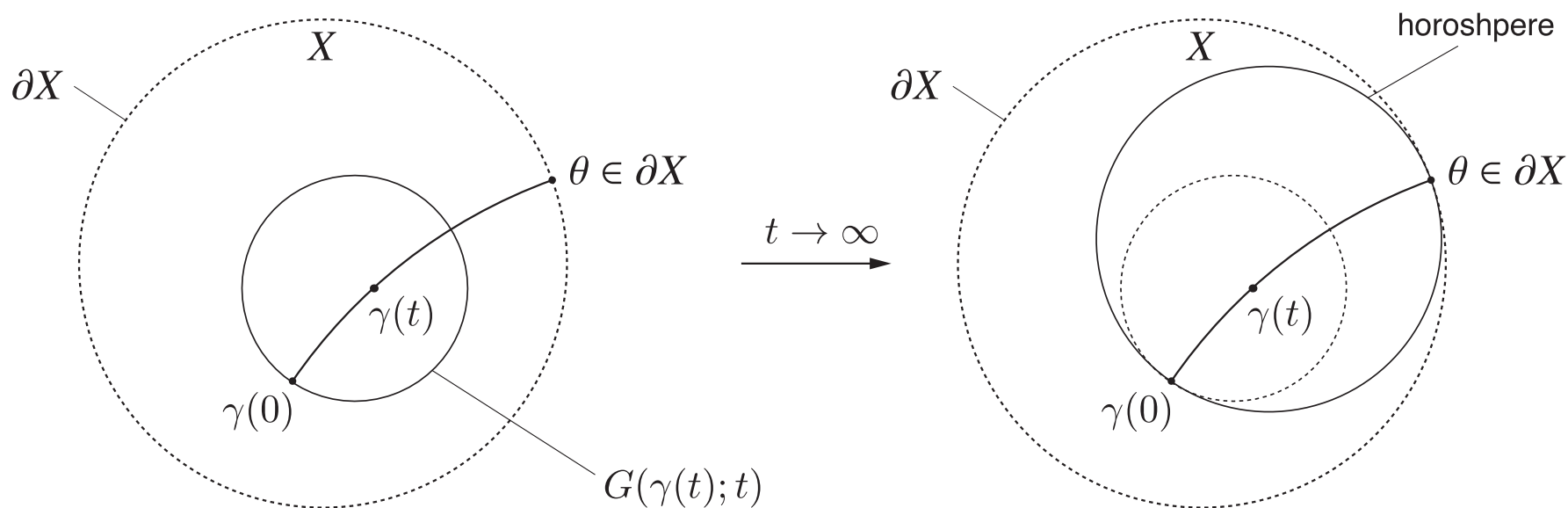


## §4. 定理 2 の証明

$$\sigma(r) = \left(A - \frac{1}{2}\right) \coth \frac{r}{2} - \left(A + B + \frac{1}{2}\right) \tanh \frac{r}{2}$$

- $\lim_{r \rightarrow \infty} \sigma(r) = \rho$

- $X$  上の Busemann 関数  $B_\theta(x)$  の等位超曲面をホ口球面という.
- 調和多様体内のすべてのホ口球面は平均曲率一定で, その値は  $\rho$ .
- ホ口球面は測地球面の半径を  $r \rightarrow \infty$  としたときの極限.



## §4. 定理 2 の証明

---

$$\sigma(r) = \left(A - \frac{1}{2}\right) \coth \frac{r}{2} - \left(A + B + \frac{1}{2}\right) \tanh \frac{r}{2}$$

- $\lim_{r \rightarrow \infty} \sigma(r) = \rho$ 
  - $X$  上の Busemann 関数  $B_\theta(x)$  の等位超曲面をホ口球面という.
  - 調和多様体内のすべてのホ口球面は平均曲率一定で, その値は  $\rho$ .
  - ホ口球面は測地球面の半径を  $r \rightarrow \infty$  としたときの極限.

$$\bullet \quad \rho = \lim_{r \rightarrow \infty} \sigma(r) = \left(A - \frac{1}{2}\right) - \left(A + B + \frac{1}{2}\right) = -B - 1$$

$$\therefore B = -(\rho + 1)$$

## §4. 定理 2 の証明

$$\sigma(r) = \left(A - \frac{1}{2}\right) \coth \frac{r}{2} - \left(A + B + \frac{1}{2}\right) \tanh \frac{r}{2}$$

- $\lim_{r \rightarrow 0} r\sigma(r) = (n - 1)$

- $r = 0$  における測地球面の平均曲率の展開公式 [3]

$$(n - 1) = \lim_{r \rightarrow 0} r\sigma(r) = \left(A - \frac{1}{2}\right) \lim_{r \rightarrow 0} r \coth \frac{r}{2} = 2 \left(A - \frac{1}{2}\right) \text{ より, } A = \frac{n}{2}.$$

- 以上のことから,

$$\sigma(r) = \frac{n - 1}{2} \coth \frac{r}{2} + \left(\rho - \frac{n - 1}{2}\right) \tanh \frac{r}{2}$$

- $\sigma(r) = (\log S(r))'$  より,  $S(r)$  は (4) 式によって与えられることが示される.

## §5.1 関連する話題 (1)

---

- 調和多様体の分類問題

- Lichnerowicz conjecture (1944)

- Szabó, J. Differential Geom. **31** (1990), 1-28.

- 「コンパクトな調和多様体は階数 1 対称空間に限る」

- Ranjan-Shah, J. Geom. Anal. **12** (2002), 683-694.

- 「非コンパクトで polynomial volume growth をもつ調和多様体は Euclid 空間に限る」

- Heber, Geom. Funct. Anal. **16** (2006), 869-890.

- 「等質な調和多様体は Euclid 空間か, 階数 1 対称空間か, Damek-Ricci 空間に限る」

- 等質でない exponential volume growth をもつ調和多様体は？

## §5.1 関連する話題 (1)

---

定理 (Knieper [7])

Let  $X$  be a simply connected noncompact harmonic manifold. Then the following assertions are equivalent:

- (i)  $X$  is Gromov hyperbolic.
- (ii)  $X$  has purely exponential volume growth.
- (iii)  $X$  has rank one.
- (iv)  $X$  has an Anosov geodesic flow with respect to the Sasaki metric.

## §5.2 関連する話題 (2)

- Ramachandran-Ranjan,

Proc. Indian Acad. Sci. Math. Sci. **107** (1997), 251-261.

### 定理

$(M, g)$  が  $n$  次元, 非コンパクト, 単連結, 調和多様体で

- 密度関数が  $S(t) = \sinh^{n-1} t$

$\implies (M, g)$  は  $n$  次元実双曲空間に等長的

- Kähler かつ, 密度関数が  $S(t) = \sinh^{2n-1} t \cosh t$

$\implies (M, g)$  は  $2n$  次元複素双曲空間に等長的

- 四元数 Kähler かつ, 密度関数が  $S(t) = \sinh^{4n-1} t \cosh^3 t$

$\implies (M, g)$  は  $4n$  次元四元数双曲空間に等長的

## §5.2 関連する話題 (2)

---

- Ramachandran-Ranjan,  
Proc. Indian Acad. Sci. Math. Sci. **107** (1997), 251-261.

- 調和多様体における Ledger の公式

$$\left. \frac{d^2}{dt^2} \left( \frac{S(t)}{t^{n-1}} \right) \right|_{t=0} = -\frac{1}{3} \text{Ric}$$

- (正則) 断面曲率が一定であることを示している.